

おまの質量保存則はそれぞれ(1),(2)式で示される。

$$Ri_* = \frac{\Delta p(x) \cdot h(x)}{\rho_m U(x)^2} \quad (1)$$

$$\Delta p \cdot h = \Delta p(x) U(x) h(x) = \text{const.} \quad (2)$$

つまり、 $\partial Ri_* / \partial x$ は $\frac{d}{dx} \{ \Delta p(x) U(x) h(x) \} = 0$ の関係を代入し、

オ一が比較して、

$$\partial Ri_* / \partial x \doteq -3 \frac{\Delta p(x) h(x)}{\rho_m U(x)^3} \cdot \partial U(x) / \partial x \quad (3)$$

の関係が得られる。ここに、 $\rho_m = \rho_f + \frac{1}{2} \Delta \rho(x)$ である。

wall jet の拡散が類推される、 $\partial U / \partial x < 0$ が期待されるので Ri_* は流下方向に増加し、entrainment が無視できる領域(管流域)の形成を促される。

3-2 流速分布および平均流速

Z軸を水路底面から鉛直上向きに、Y軸をY=d-Zとする。Zは以下用いる記号を因3に示すが、Z=d (Y=0) は流速および濃度(密度)分布の変曲点の位置である(図-10参照)。Z=dにおいて、せん断力は極大値をとることが予想されることを、実験値において、 $\bar{u} \doteq \bar{u}_d$ (4)

の関係が成立することからこの位置を境界面と呼ぶことにする。ここに $\bar{u} = \frac{1}{d} \int_0^d u(z) dz$ である。

i) $0 \leq z \leq d_1$ の領域において、図-10に示すように濃度が変化しないという実験結果を重視すれば、せん断力の分布は、 $\tau(z) = (\rho_0 - \rho_2) g d_1 (1 - z/d_1)$ (5)

とあける。流速分布は図-4に示すように対数分布にしたがうので、混合距離を、

$$l(z) = K_1 z (1 - z/d_1)^{1/2} \quad (6)$$

とし、プラントルの運動量輸送理論と(5),(6)式より、流速分布および平均流速は

$$u(z)/u_{*b} = Ar + 2.3 K_1 \log_{10} \frac{z}{l(z)} \quad \dots (7), \quad \bar{u}/u_{*b} = Ar + \frac{1}{2} K_1 (2.3 \log_{10} \frac{d_1}{2} - 1) \quad \dots (8)$$

と求まる。ここに、 $u_{*b} = \sqrt{(\rho_0 - \rho_2) g d_1 / \rho_0}$ (9) である。

ii) $0 \leq z \leq d_2$ ($d_1 \leq z \leq d$) の領域においては、境界面近傍における非常に大きな密度勾配による重力の効果のため、鉛直方向の拡散は無視できるほど小さいが、拍括としては分子粘性に比して運動量輸送によるものが卓越すると考え、境界面において混合距離 l_0 を仮定し、混合距離の分布を、 $l(z) = l_0 + K_2 z$ (10)

とする。さらに運動量輸送理論と流速の持続条件とから、流速分布および平均流速は

$$\frac{u_d - u(z)}{u_{*d}} = \frac{2.3}{K_2} \log_{10} \frac{l_0/d_2 + K_2}{l_0/d_2 + z/d_2} \quad (11)$$

$$\frac{\bar{u}}{u_{*d}} = \frac{u_d}{u_{*d}} + \frac{1}{K_2} \left\{ \frac{2.3}{K_2} \frac{l_0}{d_2} \log_{10} \frac{l_0/d_2 + K_2}{l_0/d_2} - 1 \right\} \quad (12)$$

となる。ここに、 $u_{*d} = \sqrt{(\rho_2 - \rho_1) g d_2 / \rho_2}$ (13), $\bar{u} = \frac{1}{d} \int_0^d u(z) dz$ である。

3-3 密度(濃度)分布 境界面近傍における拡散は小さいので、密度分布の時間的場所的変化も小さいと見なすことができる。つまり、gradient form Richardson 数(Ri)²⁾

$$Ri = \frac{g \cdot d\rho/dz}{\rho_m (du/dz)^2} \quad \dots (14)$$

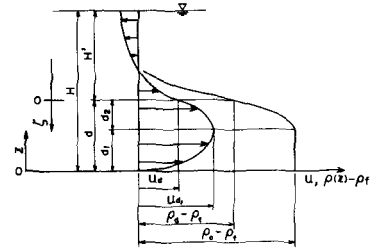


図-3 記号説明図

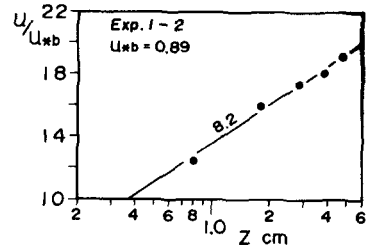


図-4 流速分布 ($2.3 K_1 = 0.2$)

が互同に变化しないと仮定し、先に求めた流速分布の結果も利用すれば、 $0 \leq z \leq d_2$ ($d_1 \leq z \leq d$) の領域における密度分布および平均密度はそれぞれ次の式で表される。

$$p_0 - p(z) = \frac{\rho_i \rho_m u_* d^2}{g d_2 K_2} \left(\frac{1}{l_0/d_2 + K_2 z/d_2} - \frac{1}{l_0/d_2 + K_2} \right) \quad (15)$$

$$p_0 - \bar{p}_2 = \frac{\rho_i \rho_m u_* d^2}{g d_2 K_2} \left(\frac{2.3}{K_2} \log_{10} \frac{l_0/d_2 + K_2}{l_0/d_2} - \frac{1}{l_0/d_2 + K_2} \right) \quad (16)$$

また、重量濃度 $C(z)$ は (17) 式で求められる。

$$C(z) = (p(z) - p_2) / p_2 \cdot \sigma / (\sigma - 1) \quad (17)$$

境界面より上方領域における輸送量 (図-10 参照) E を用いることにより、2、混濁輸送の連続式は $(p_0 - p_2) Q = (p_0 - p_2) \bar{u}_1 d_1 + (p_2 - p_2) \bar{u}_2 d_2 + E$ と表わされる。

4. 境界面における抵抗係数: 3節で導入した理論式を適用する場合には必要な l_0 , R_i および $0 \leq z \leq d_2$ の領域での抵抗則について考察する。混合距離は境界面からの距離に関係することから l_0 は d_2 に依存することが推察され、さらに entrainment の現象から内部フルー数

$$Fr_2 = \bar{u}_2 / \sqrt{(\rho_0 - \rho_2) g d_2 / \rho_2} \quad (19)$$

にも関係することが考察されるが、図-5 はこのことをよく物語っている。つまり、オーガニングによつて R_i と Fr_2 との関係も調べると下記のようなになる。つまり $u_* / u_* d$ の $0 \leq z \leq d_2$ の領域におけるオーガニはそれぞれ、

$$(\rho_2 - \rho_2) / d_2, \quad \bar{u}_2 / d_2$$

と考えられ、これを (19) 式に代入し、これを比例定数 α とおくと、(20) 式の関係がえられる。

$$R_i = \alpha / Fr_2^2 \quad (20)$$

実験値についてのこの関係を整理したのが図-6 であり、データ個数が少ないが、最小二乗法によつて $\alpha = 1.64$ をえた。つまり、(20) 式によつて表現される抵抗則に關して若干の考察を加える。

$\bar{u}_2 / u_* d = \sqrt{2} / f_2'$ とおき、(20) 式の右辺の $u_* d$ を (16) 式を用いて消去し、 R_i は (20) 式の関係を使えば、

$$\begin{aligned} \sqrt{\frac{2}{f_2'}} &= \frac{Fr_2'}{Fr_2} \left\{ \frac{\alpha}{K_2} \left(\frac{2.3}{K_2} \log_{10} \frac{l_0/d_2 + K_2}{l_0/d_2} - \frac{1}{l_0/d_2 + K_2} \right) \right\}^{\frac{1}{2}} \\ &+ \frac{1}{K_2} \left(\frac{l_0}{d_2} \cdot \frac{2.3}{K_2} \log_{10} \frac{l_0/d_2 + K_2}{l_0/d_2} - 1 \right) \end{aligned} \quad (21)$$

$$Fr_2' = u_{d1} / \sqrt{(\rho_0 - \rho_2) g d_2 / \rho_m} \quad (22)$$

となる。 Fr_2' は Fr_2 の関数であることが容易に推察されるが、実験値についてのこの関係を示したのが図-7 であり、きつめて両者の相関はよい。図-5, 6, 7 の結果を (21) 式に代入し、 K_2 をパラメータとして計算した曲線を図-8 に示す。河口二層端において求められた

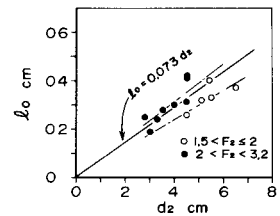


図-5 l_0 と d_2 の関係

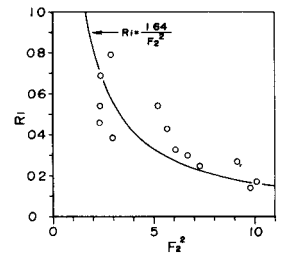


図-6 R_i と Fr_2 の関係

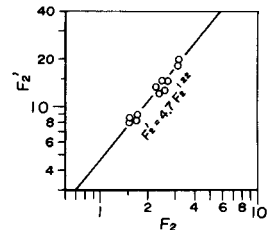


図-7 Fr_2 と Fr_2' の関係

